

# مطالعه تجربی و عددی کاهش پسای اصطکاکی با استفاده از بهینه‌سازی سطح گرمایش در اجسام تقارن محوری

رضا خاکی<sup>۱</sup> و مسعود برومند<sup>۲</sup>

دانشکده مهندسی هواپیما، دانشگاه صنعتی امیرکبیر

## چکیده

کاهش پسای اصطکاکی در اجسام تقارن محوری با استفاده از گرمایش سطح در جریان آشفته به صورت تجربی و عددی مورد مطالعه قرار گرفته است. برای آزمایش تونل باد، مدلی تقارن محوری به شکل تقریبی بدنه هواپیما به طول  $L/D = 10$  ساخته شده که  $1/4$  ابتدای و انتهای آن از یک منحنی بیضی شکل و مابقی از سطح صاف تشکیل شده است. ضمناً، از معادلات ناویر-استوکس تقارن محور با تقریب لایه نازک و مدل آشفتگی بالدوین - لوماکس برای شبیه‌سازی عددی استفاده شده است. به منظور تعیین سطح بهینه گرمایش، بخش میانی و صاف مدل به پنج قسمت مساوی تقسیم شده و اثر تغییر دما در سطوح مختلف و همچنین، تغییر تعداد سطوح گرم شونده، بورسی شده است. در حالتی که سطح نزدیکتر به دماغه تا دمای ۱۰۰ درجه سانتی گراد گرم شود، نیروی پسای حاصل از آزمایش تجربی و شبیه‌سازی عددی به ترتیب  $24.4\%$  و  $23.8\%$  درصد کاهش می‌یابد. نزدیکی این دو مقدار نشان‌دهنده تطبیق نتایج حل عددی بر نتایج آزمایش تجربی است. بنابراین، هرچه گرمایش به صورت متمرکزتر انجام پذیرد، میزان کاهش پسای بیشتر خواهد بود.

واژه‌های کلیدی: کاهش پسای، پسای اصطکاکی، تقارن محوری، آزمایش تونل باد، معادلات ناویر-استوکس لایه نازک

## An Experimental and Numerical Study of Drag Reduction by Optimization of a Heated Surface of an Axisymmetric Body

R. Khaki, and M. Boroomand

Aerospace Eng. Department, Amirkabir Univ. of Technology

### ABSTRACT

*Friction drag reduction in axisymmetric bodies with heating the surface in the turbulent boundary layer is investigated experimentally and numerically. For wind tunnel test, an axisymmetric model, nearly like an airplane body, with a length of 0.5 m and taper ratio of 10 is manufactured which, the quarter length of its tip and end has elliptical form and the others are flat. Also, axisymmetric form of the thin layer Navier-Stokes equations, using Baldwin-Lomax turbulence model is applied for the numerical simulation. Optimization of the heating area is performed by dividing the flat section of the model to five equal segments and therefore, the effects of temperature variation in various segments and numbers of heated segments are investigated. The experimental and numerical results show that, heating the first segment to 100°C, causes 24.4 (Exp.) and 23.8 (Num.) percent reduction in drag force, which show good agreements. The maximum drag reduction occurs in concentrated heating.*

**Key Word:** Drag Reduction, Friction Drag, Axisymmetric Body, Wind Tunnel Testing, Thin Layer Navier-Stokes (TLNS)

۱- دانشجوی دکترا: reza\_khaki@yahoo.com

۲- استادیار

اما در برخی مناطق، مثل بدن ههوایپما، به علت داشتن طول زیاد نمی توان از آشفتگی شدن جریان جلوگیری کرد، در این محدوده باید از روش های کاهش پسای اصطکاکی در محدوده آشفتگی بهره جست.

یکی از جدیدترین روش های کاهش پسای اصطکاکی، افزایش حرارت سطح داخل لایه مرزی در محدوده آشفتگی است. ایده گرم کردن لایه مرزی در ناحیه آشفتگی در اوآخر دهه ۸۰ توسط لین و آش<sup>۱</sup> در سال ۱۹۸۶ مطرح شد [۲]. آنها نشان دادند که گرم کردن لایه مرزی در ناحیه آشفتگی باعث کاهش نیروی پسا می شود. هنگامی که دما به لایه مرزی آشفتگی اضافه می شود، گرم کردن دیواره باعث تغییر در لزجت و دانسته سیال در مجاورت سطح می شود. این تغییر در خواص سیال سبب کاهش پسای اصطکاکی می شود و ضریب اصطکاک پوسته، تقریباً به عنوان تابعی از نسبت دمای پوسته به دمای محیط کاهش می باید [۱].

لین و آش برای نشان دادن این پدیده از تداخل حل عددی معادلات غیر لرج و معادلات لایه مرزی استفاده کردند [۲]. آنها با گرم کردن کل سطح، کاهش پسای اصطکاکی به وسیله گرمایش لایه مرزی را مورد بررسی قرار دادند.

در سال ۱۹۹۹ طی سلسله آزمایش هایی در ناسا<sup>۲</sup> این پدیده در محدوده های سرعتی مختلف بررسی شد [۱]. طی آزمایش های مختلف این نتیجه حاصل شد که با کاهش عدد رینولدز در محدوده آشفتگی، افزایش دمای روی سطح بر کاهش پسای اصطکاکی اثر بیشتری خواهد داشت.

در این تحقیق، به منظور بررسی تجربی سطح بهینه گرمایش در تونل باد مادون صوت، مدل تقارن محوری با قابلیت گرمایش کنترل شده روی سطوح ساخته شده است. همچنین، به منظور انجام شبیه سازی عددی، کد تقارن محوری برای حل معادلات ناویر استوکس با تقریب لایه نازک<sup>۳</sup>، با استفاده از مدل آشفتگی جبری نوشته شده است. با استفاده از حل عددی و آزمایش تجربی، ابتدا رفتار جریان در دمای های مختلف سطح مورد بررسی قرار گرفت و در مرحله بعد، با درنظر گرفتن تغییر مکان سطح گرمایش و

## فهرست علائم

$\hat{A}, \hat{B}, \hat{M}$	ماتریس ژاکوبین
$u, v, w$	مؤلفه های سرعت
$e$	انرژی کل
$I$	ماتریس واحد
$M_\infty$	عدد ماخ
$P$	فشار
$q$	هدایت حرارتی
$T$	دما
$t$	زمان
$\tau$	تنشی بر بشی
$x, y$	مختصات نقاط در دستگاه مختصات فیزیکی
$\xi, \eta$	مختصات نقاط در دستگاه مختصات محاسباتی
$\rho$	چگالی
$\mu$	ضریب لزجت
$\mu_r$	ضریب لزجت آشفتگی
$Pr$	عدد پرانتل
$Pr_r$	عدد پرانتل آشفتگی
$\gamma$	نسبت حرارتی ویژه
$Re$	عدد رینولدز
$J$	ژاکوبین نگاشت فضای فیزیکی به فضای محاسباتی

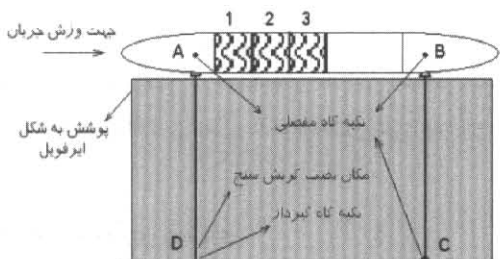
## ۱- مقدمه

مزایای کاهش نیروی پسا در اجسام پرنده آشکار است. کاهش نیروی پسا در تمام پارامتر های عملکرد، مثل ماکریمم سرعت، شتاب گیری سریع تر، کمتر کردن فاصله برخاست و میزان سوخت مصرفی مؤثر است. پسای یک هوایپما از اجزاء مختلفی تشکیل شده است. در پرواز مستقیم (Cruise) در بین اجزای مختلف نیروی پسا، پسای اصطکاکی، به تنها بیش از نیمی از کل نیروی پسا را به خود اختصاص می دهد. به منظور کاهش پسای اصطکاکی روش های متعددی به کار گرفته شده است. از آنجا که پسای اصطکاکی در محدوده جریان آشفتگی به مراتب بالاتر از پسای اصطکاکی در محدوده جریان آرام است، بسیاری از روش ها سعی در آرام نگهداشتن جریان سیال و به تأخیر انداختن شروع محدوده آشفتگی دارند.

1- Lin & Ash

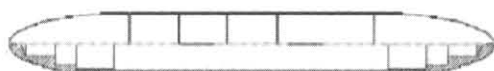
2- NASA

3- Thin Layer Navier Stokes(TLNS)



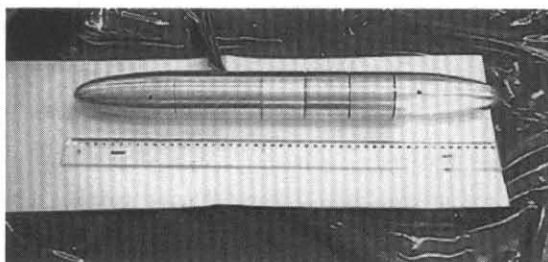
شکل ۱- مدل مورد استفاده در آزمایش تونل باد.

در این مدل، از هسته‌ای از جنس فنولیک در مرکز مدل و پوشش آلومینیوم استفاده شده است. در شکل (۲) نقشه سرهم شده قطعات و اجزای مدل نشان داده شده است.



شکل ۲- نقشه سرهم شده قطعات اصلی در مدل.

در شکل (۳)، تصویر مدل ساخته شده، نشان داده شده است. در کنار این مدل از یک خطکش پنجاه سانتی‌متری برای مقایسه استفاده شده است.



شکل ۳- تصویر مدل ساخته شده.

همان طور که ذکر شد، بخش صاف و میانی مدل به طول ۲۵ سانتی‌متر است که به پنج بخش مساوی ۵ سانتی‌متری تقسیم شده است و سه بخش ابتدایی آن برای گرمایش در نظر گرفته شده است. المان‌های حرارتی الکترونیکی برای گرم کردن هر بخش به صورت مجزا در نظر گرفته شده و بر

دمای سطوح، سطح بهینه گرمایش به ازای مقدار انتقال حرارت ثابت مورد بررسی قرار گرفت.

## ۴- آزمایش تجربی تونل باد

به منظور آزمایش تجربی، از تونل باد مادون صوت مدار بسته در محدوده سرعتی ۲۰ الی ۴۰ متر بر ثانیه با مقطع آزمون باز با ابعاد  $0.5m \times 0.5m \times 0.8m$  استفاده شده است. برای آزمایش از مدل تقارن محوری به شکل تقریبی بندنه هواپیما به طول  $1/5 m$  استفاده شده است، این مدل دارای ضریب لاغری  $L/D = 10$  است که  $1/4$  ابتدایی و انتهایی آن از یک منحنی بیضی شکل و مابقی از سطح صاف تشکیل شده است.

مشکل اساسی در آزمایش‌های مربوط به بررسی نیروی پسا، کم بودن این نیرو خصوصاً در سرعت‌های پایین است. برای رفع این مشکل پایه‌ای طراحی و ساخته شد تا نیروی پسا موجود را به ممان قابل لمسی تبدیل کند. برای بالاتر بردن دقیق‌تر نیروی پسا را به هم متصل هستند. این نحوه نصب باعث می‌شود که کرنش‌سنجه با تقویت آثار یکدیگر هم میزان نیروی پسا را دقیق‌تر نشان دهند و هم باعث ازبین رفتن خطای ناشی از تغییرات دما شوند.

در شکل (۱)، مدل مورد استفاده در تونل باد نشان داده شده است. طول این مدل تقریباً ۵۰ cm و طول میله‌های نگهدارنده تقریباً ۳۰ cm است. برای اتصال مدل به پایه‌ها و پایه‌ها به زمین در سه نقطه A، B و C از تکیه‌گاه مفصلی و در نقطه D از تکیه‌گاه گیردار استفاده شده است، تا نیروهای واردہ به مدل به صورت ممان روی این محدوده اعمال شود.

برای انجام این آزمایش، بخش میانی و صاف مدل به پنج قسمت مساوی تقسیم شده و با توجه به شبیه‌سازی عددی، سه سطح ابتدایی از پنج قسمت، برای گرمایش در نظر گرفته شده است. در شکل (۱)، مدل مورد بررسی، پایه‌های اندازه‌گیری و المان‌های گرم‌شونده نشان داده است.

$|\omega|$  به کار رفته در روابط فوق معرف اندازه چرخش<sup>۱</sup> است و برای حالت دو بعدی به صورت ذیل تعریف می شود:

$$|\omega| = \left( \frac{\partial u}{\partial v} - \frac{\partial v}{\partial x} \right). \quad (4)$$

برای پارامتر  $y^+$  می توان نوشت:

$$y^+ = \frac{\rho_w u_i y}{\mu_*} = \frac{\sqrt{\rho_w \tau_w y}}{\mu_*}. \quad (5)$$

برای لایه خارجی می توان نوشت:

$$(\mu_i)_{outer} = KC_{cp} \rho F_{wake} F_{KLEB}(y). \quad (6)$$

تابع  $(y)$  به کار رفته در رابطه فوق مطابق زیر تعریف می شود:

$$F_{KLEB}(y) = \left[ 1 + 5.5 \left( \frac{C_{KLEB} y}{y_{max}} \right)^6 \right]^{-1}. \quad (7)$$

برای  $F_{wake}$  بکار رفته در رابطه (۶) می توان نوشت:

$$F_{wake} = \text{Min} \begin{cases} y_{Max} F_{Max} \\ C_{wk} y_{max} \frac{u_{Diff}^2}{F_{max}} \end{cases}. \quad (8)$$

مقادیر پارامترهای  $y_{Max}$  و  $F_{Max}$  با استفاده از رابطه ذیل حاصل می شود:

$$F(y) = y |\omega| \left[ 1 - \exp \left( - \frac{y^+}{A^+} \right) \right]. \quad (9)$$

مقدار  $F_{Max}$  با توجه به ماقزیم مقدار حاصل از رابطه فوق حاصل می شود و  $y_{Max}$  محلی است که  $F_{Max}$  در آن اتفاق می افتد.

به همین ترتیب،  $u_{Diff}$  به کار رفته در رابطه (۸) مطابق زیر تعریف می شود:

$$u_{Diff} = \left( \sqrt{u^2 + v^2 + w^2} \right)_{Max} - \left( \sqrt{u^2 + v^2 + w^2} \right)_{Min}. \quad (10)$$

روی هسته فنولیکی و زیر پوشش آلومینیومی پیچیده شده است. دما روی سطوح با حسگرهای حرارتی احساس شده و با کنترلهای PID در دمای دلخواه کنترل می شود.

### ۳- شبیه‌سازی عددی

به منظور شبیه‌سازی عددی از حل معادلات ناویر استوکس تقارن محوری با تقریب لایه نازک استفاده شده است. شکل بقایی<sup>۱</sup> این معادلات همراه با روش حل بیم - وارمنگ<sup>۲</sup> در پیوست (۱) ارائه شده است.

در این بررسی، برای مدل‌سازی آشفتگی از مدل جبری بالدوین - لومکس<sup>۳</sup> استفاده شده است [۷]. در این روش تأثیر آشفتگی به صورت ضربه لزحت ناشی از ادی<sup>۴</sup> های جریان آشفتگی ( $\mu_i$ ) شبیه‌سازی می شود. بنابراین، در ترم‌های مربوط به معادلات ناویر استوکس، ضربه لزحت ( $\mu_i$ ) با ترم  $(\mu + \mu_i)$  تعویض می شود و در ترم‌های مربوط به انتقال دما  $(\frac{\mu}{Pr} + \frac{\mu_i}{Pr_i})$  به جای  $\frac{\mu}{Pr}$  از  $\frac{k}{Cp} = \frac{\mu}{Pr}$  استفاده می شود.

در مدل جبری مورد استفاده ( $\mu_i$ ) با استفاده از رابطه زیر تعریف می شود:

$$\mu_i = \begin{cases} (\mu_i)_{inner} & y \leq y_{crossover} \\ (\mu_i)_{outer} & y_{crossover} < y \end{cases}. \quad (1)$$

در رابطه فوق، برای محاسبه ( $\mu_i$ ) محدوده لایه مرزی به دو بخش داخلی و خارجی تقسیم‌بندی می شود.  $y$  فاصله عمود تا دیواره و  $y_{crossover}$  کوچکترین میزان  $y$  است که در آن میزان  $(\mu_i)_{inner}$  و  $(\mu_i)_{outer}$  برابر است. با استفاده از فرمول پرانتل - ون درایست<sup>۵</sup> برای لایه داخلی می توان نوشت:

$$(\mu_i)_{inner} = \rho l^2 |\omega|. \quad (2)$$

جانبی که:

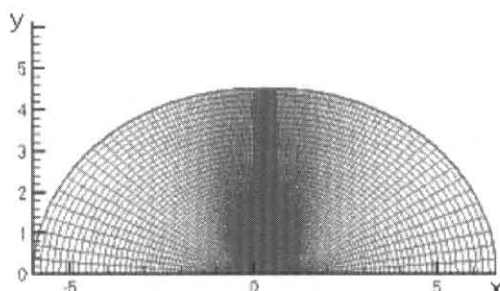
$$l = ky \left[ 1 - \exp \left( - \frac{y^+}{A^+} \right) \right]. \quad (3)$$

شبکه‌بندی به کار رفته، از چهار شبکه مختلف استفاده شده است (جدول ۲).

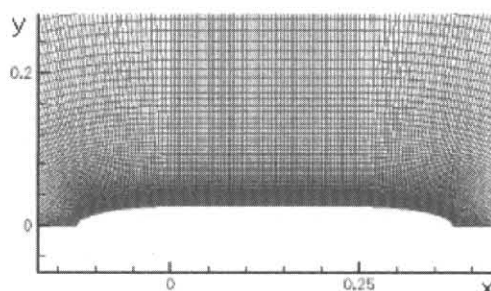
جدول ۲- شبکه‌بندی‌های عددی برای اثبات عدم وابستگی حل عددی به شبکه.

	تعداد نقاط در جهت جسم	تعداد نقاط در جهت عمود بر جسم
شبکه اول	۱۲۰	۱۳۰
شبکه دوم	۱۴۰	۱۵۰
شبکه سوم	۱۷۰	۱۸۰
شبکه چهارم	۲۰۰	۲۴۰

با مقایسه نتایج حاصل از نیروی پسا و پروفیل سرعت در دو خط  $x = 0.0$  و  $x = 0.25$  (که محدوده ابتداء و انتهای بخش میانی مدل هستند)، مشخص شد که شبکه  $170 \times 180$  برابر طول مدل انتخاب شده است. شکل (۵)، شبکه به کار رفته و دامنه عددی مورد بررسی را نشان می‌دهد.



شکل ۵-الف- توزیع نقاط گرهی و محدوده مورد بررسی.



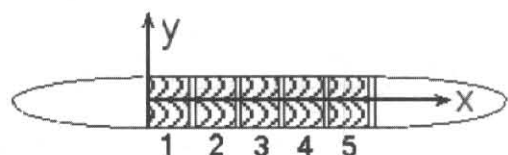
شکل ۵-ب- توزیع نقاط گرهی حول جسم.

ثابت‌های به کار رفته در روابط فوق با بررسی‌های به عمل آمده برای مسئله مورد بررسی در جدول (۱) ارائه شده است:

جدول ۱- ضرایب به کار رفته در معادلات آشفتگی.

$A^+$	$C_{cp}$	$C_{KLEB}$	$C_{CW}$	$k$	$K$	$Pr$	$Pr_t$
۱۶	$1/6$	$-1/3$	$-1/25$	$+1/9$	$-1/168$	$-1/72$	$+1/9$

مدل مورد بررسی برای شبیه‌سازی عددی در شکل (۴) نشان داده شده است. این مدل، دارای طول  $50\text{ cm}$  با ضریب لاغری  $L/D = 10$  است که  $1/4$  ابتدایی و انتهایی آن از یک منحنی بیضی شکل و مابقی از سطح صاف تشکیل شده است. شکل مدل دقیقاً مشابه آنچه در آزمایش تجربی استفاده شده، می‌باشد. سطح صاف میانی به پنج بخش مساوی برای گرمایش تقسیم شده است:



شکل ۴- سطوح گرمایش و مدل استفلامشده برای حل عددی.

در اعمال شرایط مرزی روی سطح جسم، برای مؤلفه‌های سرعت از شرط  $U = V = 0$  و برای دانسیته از برونویابی از نقاط کنار مرز استفاده شده است. در مرزهای ورودی و خروجی از شرایط ریمان [۸] استفاده شده است. ضمناً فشار روی مرز از حل معادله زیر حاصل شده است:

$$\rho [\partial_\tau \eta_x + u \partial_\tau \eta_x + v \partial_\tau \eta_y] - \rho U (\eta_x u_\xi + \eta_y v_\xi) = \\ (\eta_x \xi_x + \eta_y \xi_y) p_\xi + (\eta_x^2 + \eta_y^2) p_\eta = p_n \sqrt{\eta_x^2 + \eta_y^2}$$

در تحلیل عددی انجام شده، به منظور دستیابی به نتایج دقیق‌تر، تأثیر محل درنظرگرفتن مرز دوردست، بررسی شده است. ضمناً برای اثبات عدم وابستگی حل عددی به

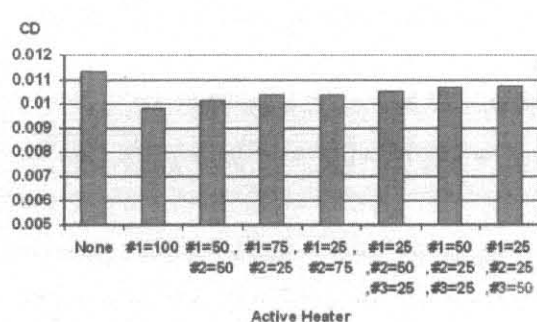
## ۴- نتایج

حدی است که اندازه انتقال حرارت ثابت باشد. نتایج حاصل از این بررسی در شکل (۷) ارائه شده است. همان‌طور که در شکل می‌توان دید در حالتی که سطح اول با دمای ۱۰۰ درجه سانتی‌گراد گرم شده، بیشترین کاهش پسا اصطکاکی نسبت به حالت‌های دیگر خواهیم داشت. بنابراین، علاوه بر تأثیر بیشتر گرمایش سطوح ابتدایی هرچه گرمایش به صورت متمرکزتر انجام پذیرد، میزان کاهش پسا بیشتر خواهد شد.

از طرفی، افزایش دما باعث جلو افتادن نقطه جدایش جریان می‌شود و این امر پسای فشاری را افزایش می‌دهد. اما، میزان افزایش پسای فشاری در مقایسه با کاهش پسای اصطکاکی، بسیار کوچک و قابل چشم‌پوشی است. شکل (۸) جدایش جریان را در انتهای مدل در سه نوع گرمایش مختلف نشان می‌دهد. مطابق شکل مشهود است، هر چه عمل گرمایش بیشتر صورت پذیرد، جدایش جریان زودتر اتفاق می‌افتد.

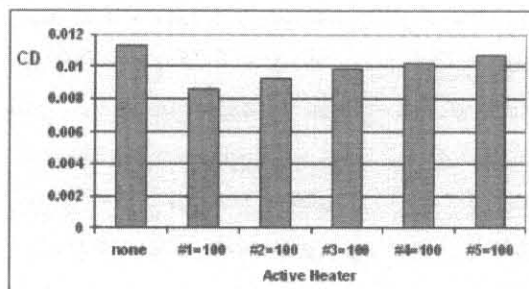
جدول ۳- افزایش دمای سطوح در حالت‌های مختلف.

حالت بررسی	دمای سطح ۱ °C	دمای سطح ۲ °C	دمای سطح ۳ °C
۱	۰	۰	۰
۲	۱۰۰	۰	۰
۳	۵۰	۵۰	۰
۴	۷۵	۲۵	۰
۵	۲۵	۷۵	۰
۶	۲۵	۵۰	۲۵
۷	۵۰	۲۵	۲۵
۸	۲۵	۲۵	۵۰



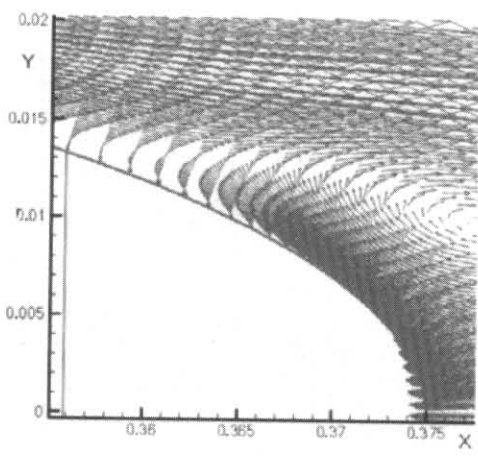
شکل ۷- بررسی حالت‌های مختلف گرمایش سطح.

همانگونه که در قسمت قبل ذکر شد، مدل به کار رفته برای آزمایش تجربی و شبیه‌سازی عددی دقیقاً مشابه یکدیگر است. در ضمن، هر دو بررسی در سرعت جریان آزاد ۲۵ متر بر ثانیه و شرایط محیطی یکسان انجام شده است. برای بررسی سطح بهینه گرمایش، ابتدا توسط حل عددی، اثر گرمایش هر کدام از سطوح بر کاهش پسا مورد بررسی قرار گرفته است، بدین منظور، هر یک از سطوح به صورت مجزا به میزان ۱۰۰ درجه سانتی‌گراد گرم شده‌اند. همانگونه که در شکل (۶) نشان داده است، هرچه به سمت نوک مدل مورد بررسی نزدیک‌تر شویم، اثر گرمایش لایه مرزی بر کاهش پسا بیشتر می‌شود.

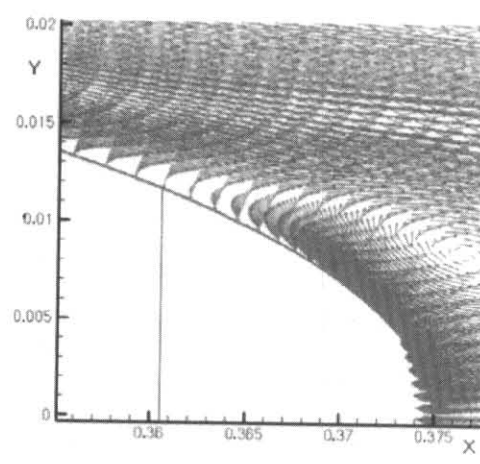


شکل ۶- مقایسه تأثیر گرمایش سطوح به میزان ۱۰۰ °C.

به منظور تعیین سطح بهینه گرمایش، اثر تغییر دما در سطوح مختلف و همچنین، تغییر تعداد سطوح فعال مورد گرمایش، در انتقال حرارت ثابت، بررسی شده است. با توجه به نتایج حاصله مبنی بر اهمیت بیشتر گرمایش سطوح ابتدایی بر کاهش نیروی پسا، گرمایش سطوح ابتدایی مطابق جدول (۳) مورد بررسی قرار گرفته است. همان‌طور که در جدول نشان داده شده است، در حالت اول، هیچ سطحی مورد گرمایش قرار نگرفته و برای مقایسه با سایر حالتها ارائه شده است. در حالت دوم، سطح ۱ به اندازه ۱۰۰ درجه سانتی‌گراد گرم شده است. در حالت بررسی سوم، دو سطح ۱ و ۲ به میزان ۵۰ درجه سانتی‌گراد گرم شده است و در حالت‌های بررسی بعدی گرمایش سطوح ۱ و ۲ و ۳ به میزان دماهای ارائه شده، انجام پذیرفته است. با توجه به ثابت بودن مساحت سطوح ۱ و ۲ و ۳، مجموع گرمایش در نظر گرفته شده، برای سطوح در

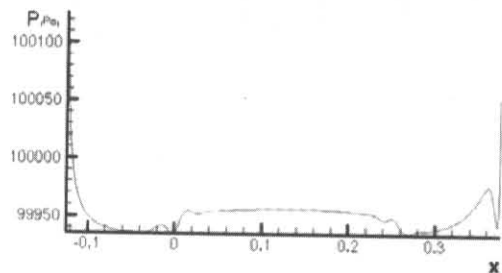


شکل ۸-ج- جدایش جریان در انتهای مدل، در حالت گرمایش سطح اول و دوم به میزان  $100^{\circ}$  درجه سانتی گراد.  
 نقطه جدایش در حدود  $x = 0.356$  است.



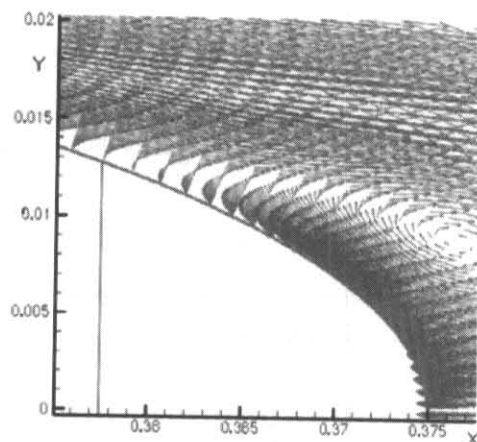
شکل ۸-الف- جدایش جریان در انتهای مدل بدون انتقال حرارت.  
 نقطه جدایش در حدود  $x = 0.3605$  است.

در شکل (۹)، توزیع فشار ببروی بدنه نشان داده شده است. در این شکل عدم تقارن توزیع فشار در بخش ابتدایی و انتهایی بدنه که از جدایش جریان حاصل شده و باعث تشکیل پسای فشاری می‌شود، مشهود است.

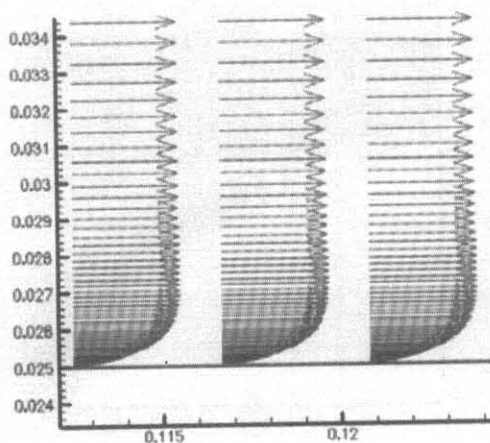


شکل ۹- منحنی توزیع فشار ببروی بدنه.

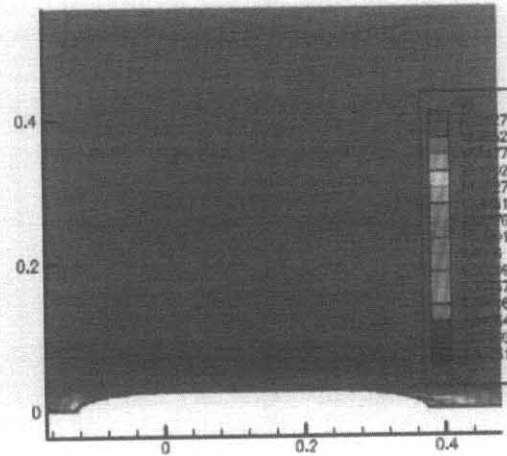
در شکل (۱۰)، کانتورهای توزیع سرعت در اطراف مدل و در انتهای مدل نشان داده شده است. در این شکل‌ها، تشکیل محدوده مربوط به نقطه سکون در ابتدای مدل و جدایش جریان در انتهای مدل مشخص است.



شکل ۸-ب- جدایش جریان در انتهای مدل، در حالت گرمایش سطح اول به میزان  $100^{\circ}$  درجه سانتی گراد.  
 نقطه جدایش در حدود  $x = 0.3575$  است.



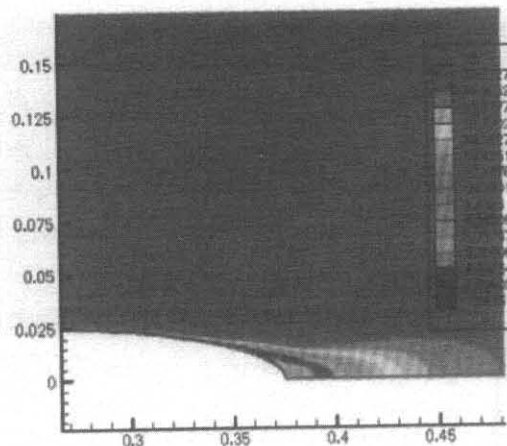
شکل ۱۱- شکل لایه مرزی در بخش میانی مدل.



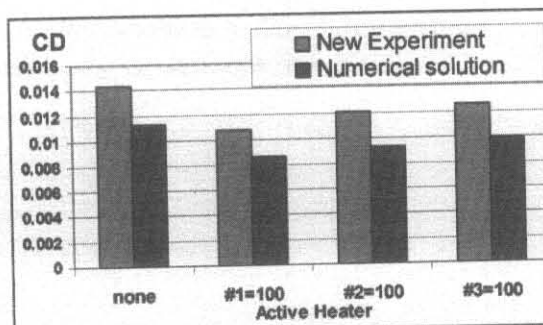
شکل ۱۰-الف- کانتور توزیع سرعت در اطراف مدل.

در شکل های (۱۲) و (۱۳)، نتایج مربوط به آزمایش تجربی توپل باد و حل عددی بر روی مدل، در سرعت  $25 \text{ m/s}$  ارائه شده است. در شکل (۱۲)، هریک از المان های حرارتی معادل با  $100^\circ\text{C}$  درجه سانتی گراد گرم شده است و با هم مقایسه شده است و در شکل (۱۳) نتایج آزمایش و حل عددی مربوط به سطح و دمای بهینه گرمایش ارائه شده است.

اختلاف موجود بین حل عددی و نتایج تجربی ارائه شده در میزان تیروی پسا می تواند به علت حضور پوشش ایرفویل مانند، در زیر مدل و دیگر خطاهای اندازه گیری در روش تجربی و همچنین خطاهای شبیه سازی عددی است. اما روند کاهش پسا در روش های تجربی و عددی به خوبی بر یکدیگر منطبق است.



شکل ۱۰-ب- کانتور توزیع سرعت در انتهای مدل.

شکل ۱۲- مقایسه تأثیر گرمایش هر یک از سطوح به میزان  $100^\circ\text{C}$  درجه سانتی گراد.

در شکل (۱۱)، بردار سرعت در محدوده میانی و نزدیک به مدل نشان داده شده است، شکل لایه مرزی در این محدوده، از بردارهای سرعت مشخص است.

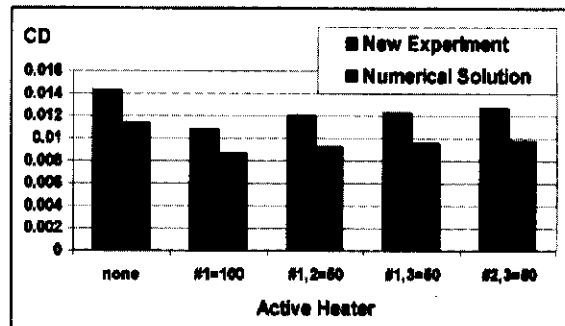
است، بیشتر است و برای داشتن بیشترین کاهش پسا به ازای انتقال حرارت ثابت می‌توان در ابتدای محدوده توسعه‌یافته سطح کوچکی را با بیشترین دمای ممکن حرارت داد.

افزایش دما باعث جلو افتادن نقطه جدایش جریان می‌شود و این امر پسای فشاری را افزایش می‌دهد. اما، میزان افزایش پسای فشاری در مقایسه با کاهش پسای اصطکاکی، بسیار کوچک و قابل چشمپوشی است.

در حالت گرمایش سطح نزدیکتر به دماغه به میزان ۱۰۰ درجه سانتی گراد، کاهش نیروی پسا با استفاده از نتایج تجربی ۲۴/۴ درصد و با استفاده از نتایج عددی ۲۳/۸ درصد حاصل می‌شود که نزدیکی این دو مقدار نشان‌دهنده تطبیق نتایج حل عددی بر نتایج آزمایش تجربی است. این میزان کاهش درگ در  $E = 6 \times 10^{-4}$  درجه سانتی گراد، گرمایش تنها ۱۱ درصد کل سطح به میزان ۱۰۰ درجه سانتی گراد حاصل شده است.

## مراجع

- [1] Kramer, B.R., Smith, B.C., and Heid, J.P. "Drag Reduction Experiments Using Boundary Layer Heating", AIAA-99-0134, 1999.
- [2] Lin, J.C. and Ash, R.L. "Wall Temperature Control of Low-Speed Body Drag", J. Aircraft, Vol. 3, No. 1, 1986.
- [3] Steger, J.L. "Implicit Finite-Difference Simulation of Flow about Arbitrary Two-dimensional Geometries", AIAA J., Vol. 16, No. 7, 1978.
- [4] Pulliam, T.H. and Steger, J.L. "Implicit Finite-Difference Simulation of Three-dimensional Compressible Flow" AIAA J., Vol. 18, No. 2, 1980.
- [5] Pulliam, T.H. "Solution Methods In Computational Fluid Dynamics", Tech. Report, NASA Ames Research Center, 1992.
- [6] Beam, R.M. and Warming, R.F. "An Implicit Factored for the Compressible Navier-Stokes Equation", AIAA J., Vol. 16, No. 4, 1978.
- [7] Baldwin, B. and Lomax, H. "Thin Layer Approximation and Algebraic Model for Separated Turbulent Flows", AIAA-78-157, 1978.



شکل ۱۳- مقایسه سطح گرمایش بهینه در آزمایش توفیل باد و شبیه‌سازی عددی.

مطابق نتایج حاصل از حل عددی از شکل (۱۲) نیز مشخص است که تأثیر گرمایش سطوح ابتدایی بر روی کاهش پسا بیشتر است.

از شکل (۱۳) نیز مشخص است، گرمایش سطوح کوچکتر با دمای بالاتر هنگامی که آن سطوح به دماغه نزدیکتر باشند، تأثیر بزرگتری بر کاهش نیروی پسا دارد. از مقایسه نتایج آزمایش تجربی و شبیه‌سازی عددی ارائه شده در شکل‌های (۱۲) و (۱۳) مشخص است که گرمایش سطح اول به میزان ۱۰۰ درجه سانتی گراد، بهترین راندمان در کاهش پسا را نسبت به ماقی خالهای ارائه شده دارد. در این حالت، میزان کاهش نیروی پسا با استفاده از نتایج تجربی ۲۴/۴ درصد و با استفاده از نتایج عددی ۲۳/۸ درصد حاصل می‌شود که نزدیکی این دو مقدار نشان‌دهنده تطبیق نتایج حل عددی بر نتایج آزمایش تجربی است.

## نتیجه‌گیری

در بررسی حاضر، مطالعه تجربی و عددی کاهش پسای اصطکاکی با استفاده از بهینه‌سازی سطح گرمایش در اجسام تقارن محوری، توسط تغییر دما در سطوح مختلف و همچنین، تغییر تعداد سطوح فعال مورد گرمایش، در انتقال حرارت ثابت، انجام شده است. مطابق با بررسی‌های به عمل آمده می‌توان نتیجه گرفت:

تأثیر گرمایش سطح کوچکتر با دمای بیشتر، هنگامی که آن سطح در محدوده توسعه‌یافته جریان به دماغه نزدیکتر

$$\hat{H}_v = \frac{1}{r} \begin{bmatrix} 0 \\ \tau_{vr} - \frac{2}{3} \frac{r}{\text{Re}} \frac{\partial}{\partial x} \left( \mu \frac{v}{r} \right) \\ \tau_{vp} - \tau_{vv} - \frac{2}{3} \frac{r}{\text{Re}} \frac{\partial v}{\partial r} \\ - \frac{2}{3} \frac{r}{\text{Re}} \frac{\partial}{\partial r} \left( \mu \frac{v}{r} \right) \\ u\tau_{vr} + v\tau_{vp} - q_r - \frac{2}{3} \frac{\mu}{\text{Re}} \frac{v^2}{r} \\ - \frac{r}{\text{Re}} \frac{\partial}{\partial r} \left( \frac{2}{3} \mu \frac{v^2}{r} \right) \\ - \frac{r}{\text{Re}} \frac{\partial}{\partial r} \left( \frac{2}{3} \mu \frac{uv}{r} \right) \end{bmatrix} \quad (\Delta)$$

تنش‌های برشی و عبارت‌های هدایت از روابط زیر بدست می‌آیند:

$$\begin{aligned} \tau_{vp} &= \frac{\mu}{\text{Re}} \left( \frac{4}{3} \frac{\partial v}{\partial r} - \frac{2}{3} \frac{\partial u}{\partial x} \right), \\ \tau_{xp} &= \frac{\mu}{\text{Re}} \left( \frac{4}{3} \frac{\partial u}{\partial x} - \frac{2}{3} \frac{\partial v}{\partial r} \right), \\ \tau_{vr} &= \frac{\mu}{\text{Re}} \left( \frac{\partial u}{\partial r} + \frac{\partial v}{\partial x} \right), \\ \tau_{vv} &= \frac{\mu}{\text{Re}} \left( \frac{4}{3} \frac{v}{r} - \frac{2}{3} \left( \frac{\partial u}{\partial x} + \frac{\partial v}{\partial r} \right) \right), \\ q_x &= -\frac{\mu}{\text{Re} \Pr(\gamma-1) M_x^2} \frac{\partial T}{\partial x}, \\ q_r &= -\frac{\mu}{\text{Re} \Pr(\gamma-1) M_x^2} \frac{\partial T}{\partial r}. \end{aligned} \quad (10)$$

در معادلات فوق سیال نیوتونی و گاز کامل فرض شده است. در روش حل معادلات ناویر-استوکس با تقریب لایه نازک از مشتقات ترم‌های لزج در جهت طولی جسم صرف‌نظر می‌شود. برای حل جریان در این دسته از معادلات، داشتن تجمع نقاط گرهی کنار مرز جسم موردنیاز است. برای سادگی حل معادلات فوق باید در سیستم محاسباتی بدست آیند. تحت شرایط ذکر شده، معادلات ناویر-استوکس با تقریب لایه نازک، به صورت زیر درمی‌آید:

$$\frac{\partial Q}{\partial t} + \frac{\partial E}{\partial x} + \frac{\partial F}{\partial r} + H_v = \frac{\partial F_v}{\partial r} + H_v. \quad (11)$$

- [8] Schmidt, J.A. and Turkel, E. "Numerical Solution of the Euler Equation by Finite Volume Methods Using Runge-Kutta Time Stepping Schemes", AIAA-81-1259. The 14<sup>th</sup> AIAA Fluid and Plasma Dynamic Conf., Palo Alto, 1981.

- ۹- رشیدی، محمد Mehdi، اصفهانیان، وحید و عظیمی، عزیز شبیه‌سازی عددی جریان تقارن محوری و مافق صوت با استفاده از معادلات ناویر-استوکس لایه نازک توسط ترکیب روش فشرده و جداسازی بردار شار، اولین کنفرانس علمی-کاربردی سازمان صنایع هوافضاء، ۷-۱ شهریور، ۱۳۷۹.

## پیوست ۱

### معادلات حاکم

معادلات ناویر-استوکس برای حالت تقارن محوری و بقایی (Conservative) بصورت زیر است:

$$\frac{\partial \hat{Q}}{\partial t} + \frac{\partial \hat{E}}{\partial x} + \frac{\partial \hat{F}}{\partial r} + \hat{H}_v = \frac{\partial \hat{E}_v}{\partial x} + \frac{\partial \hat{F}_v}{\partial r} + \hat{H}_v. \quad (1)$$

بردارهای به کار رفته در معادله فوق به صورت زیر تعریف می‌شوند [۹]:

$$\hat{Q} = [\rho \ \rho u \ \rho v \ e]^T, \quad (2)$$

$$\hat{E} = [\rho u \ \rho u^2 + p \ \rho uv \ (e + p)u]^T, \quad (3)$$

$$\hat{F} = [\rho v \ \rho uv \ \rho v^2 + p \ (e + p)v]^T, \quad (4)$$

$$\hat{H}_v = \frac{1}{r} [\rho v \ \rho uv \ \rho v^2 \ (e + p)v]^T, \quad (5)$$

$$\hat{E}_v = [0 \ \tau_{vpp} \ \tau_{vx} \ u\tau_{xpp} + v\tau_{xx} - q_x]^T, \quad (6)$$

$$\hat{F}_v = [0 \ \tau_{vpp} \ \tau_{xr} \ u\tau_{xpp} + v\tau_{xr} - q_r]^T. \quad (7)$$

$$\hat{A} \text{ or } \hat{\mathbf{B}} = \begin{bmatrix} K_t & K_x & K_r & 0 \\ A_{21} & A_{22} & A_{23} & (\gamma - 1)K_x \\ A_{31} & A_{32} & A_{33} & (\gamma - 1)K_r \\ A_{41} & A_{42} & A_{43} & \gamma\theta + K_t \end{bmatrix}. \quad (15)$$

در رابطه فوق از پارامترهای زیر استفاده شده است:

$$\begin{aligned} A_{21} &= -u\theta + K_x\phi^2 \\ A_{22} &= K_t + \theta - (\gamma - 2)K_x u \\ A_{23} &= K_r u - (\gamma - 1)K_x v \\ A_{31} &= -v\theta + K_r\phi \\ A_{32} &= K_x v - (\gamma - 1)K_r u \\ A_{33} &= K_r + \theta - (\gamma - 2)K_r v \\ A_{41} &= \theta(\phi^2 - a_1) \\ A_{42} &= K_x a_1 - (\gamma - 1)u\theta \\ A_{43} &= K_r a_1 - (\gamma - 1)v\theta. \end{aligned}$$

در تعریف ماتریس ژاکوبین فوق پارامترهای فوق  $\theta$  و  $\phi^2$  به صورت زیر تعریف می‌شوند:

$$\begin{aligned} a_1 &= \gamma \left( \frac{e}{\rho} \right) - \phi^2 \\ \theta &= K_x u + K_r v \\ \phi^2 &= 0.5(\gamma - 1)(u^2 + v^2). \end{aligned}$$

مطابق تعریف انجام شده برای  $\hat{M}$  می‌توان نوشت:

$$\hat{M} = J^{-1} \begin{bmatrix} 0 & 0 & 0 & 0 \\ m_{21} & \alpha_1 \partial_n(\rho^{-1}) & \alpha_2 \partial_n(\rho^{-1}) & 0 \\ m_{31} & \alpha_2 \partial_n(\rho^{-1}) & \alpha_3 \partial_n(\rho^{-1}) & 0 \\ m_{41} & m_{42} & m_{43} & m_{44} \end{bmatrix}. \quad (16)$$

در رابطه فوق از پارامترهای زیر استفاده شده است:

$$\begin{aligned} m_{21} &= -\alpha_1 \partial_n(u/\rho) - \alpha_2 \partial_n(v/\rho) \\ m_{31} &= -\alpha_2 \partial_n(u/\rho) - \alpha_3 \partial_n(v/\rho) \\ m_{41} &= \alpha_4 \partial_n(-(e/\rho^2) + (u^2 + v^2)/\rho) \\ &\quad - \alpha_1 \partial_n(u^2/\rho) - 2\alpha_2 \partial_n(uv/\rho) \\ &\quad - \alpha_3 \partial_n(v^2/\rho) \\ m_{42} &= -\alpha_4 \partial_n(u/\rho) - m_{21}. \end{aligned}$$

پارامترهای به کار رفته در معادله فوق به صورت زیر تعریف می‌شود:

$$\begin{aligned} Q &= \frac{\hat{Q}}{J} \\ H_t &= \frac{\hat{H}_t}{J} \\ H_v &= \frac{\hat{H}_v}{J} \\ E &= \frac{1}{J} (\xi_x \hat{E} + \xi_r \hat{F}) \\ F &= \frac{1}{J} (\eta_x \hat{E} + \eta_r \hat{F}), \end{aligned}$$

که در آن، در معادلات فوق  $J$  ژاکوبین نگاشت فضای فیزیکی به فضای محاسباتی است.

### روش حل معادلات

در این مقطع مطابق مراجع [۲] و [۴] برای حل معادلات فوق از روش (Beam Warming) استفاده شده است [۶]. در این روش معادلات به صورت زیر دسته‌بندی می‌شوند:

$$\begin{aligned} \left[ I + h \partial_\xi \hat{A}'' + h \partial_\eta \hat{B}'' - \text{Re}^{-1} h \partial_\eta \hat{M} \right] \Delta \hat{Q}'' &= \\ -h (\partial_\xi \hat{E}'' + \partial_\eta \hat{F}'' - \text{Re}^{-1} \partial_\eta \hat{F}_v'' + \hat{H}_t - \hat{H}_v) &. \end{aligned} \quad (17)$$

در رابطه فوق  $\Delta \hat{Q}''$  به صورت زیر تعریف می‌شود.

$$\Delta \hat{Q}'' = \hat{Q}^{n+1} - \hat{Q}^n. \quad (18)$$

برای مقادیر  $\hat{A}$ ،  $\hat{B}$  و  $\hat{M}$  می‌توان نوشت:

$$\begin{aligned} \hat{A} &= \partial \hat{E} / \partial \hat{Q} \\ \hat{B} &= \partial \hat{F} / \partial \hat{Q} \\ \hat{M} &= \partial \hat{F}_v / \partial \hat{Q}. \end{aligned} \quad (19)$$

ماتریس‌های ژاکوبین  $\hat{A}$  و  $\hat{B}$  به ترتیب به ازای  $\kappa$  معادل  $\xi$  و  $\eta$  به صورت زیر تعریف می‌شود:

$$\begin{aligned}
 m_{43} &= -\alpha_4 \partial_\eta(v/\rho) - m_{31} \\
 m_{44} &= \alpha_4 \partial_\eta(\rho^{-1}) \\
 \alpha_1 &= \mu[(4/3)\eta_x^2 + \eta_r^2] \\
 \alpha_3 &= \mu[\eta_x^2 + (4/3)\eta_r^2] \\
 \alpha_2 &= (\mu/3)\eta_x\eta_r \\
 \alpha_4 &= \gamma\mu\Pr^{-1}[\eta_x^2 + \eta_r^2].
 \end{aligned}$$

اکنون برای ساده‌سازی، استفاده از حل در دو جهت مجرزا استفاده می‌شود، بدین منظور به جای معادله (۱۲) معادله زیر مورد حل قرار می‌گیرد:

$$\begin{aligned}
 &\left[ I + h\delta_\xi \hat{A}^n \left[ I + h\delta_\eta \hat{B}^n - h\text{Re}^{-1} \delta_\eta \hat{M} \right] \right]^* \Delta \hat{Q} = \hat{R}^n \quad (۱۷) \\
 &\hat{R}^n = -h \left[ \delta_\xi \hat{E}^n + \delta_\eta \hat{F}^n - \text{Re}^{-1} \partial_\eta \hat{F}_v^n + \hat{H}_i - \hat{H}_v \right].
 \end{aligned}$$